

1. Konfiguracja bez tarcia.

- Statystyka

Opisywany program obsługuje konfigurację, w której dwie strony każdego bloku są poziome. Dzięki temu w układzie występują tylko siły pionowe, masa każdego bloku i siły reakcji. Siły reakcji mogą wystąpić tylko w wierzchołkach bloków i na przecięciach odcinków linii.

Rozkład działających sił widać na rysunku:

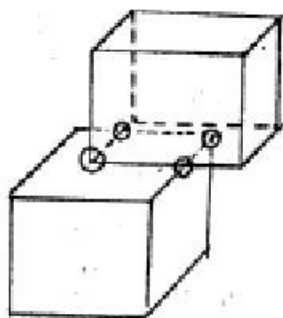


Fig. 4

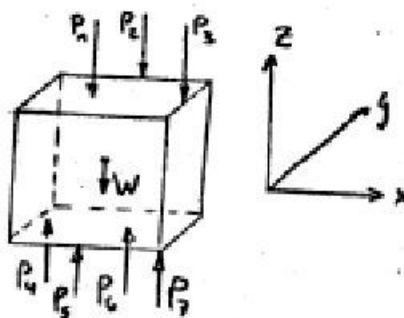


Fig. 5

Istnieją trzy równania, które pozwalają określić nieznaną siłę P_1 .

$$\sum P_1 = 0$$

$$\sum M_1^x = 0$$

$$\sum M_1^y = 0$$

Jeśli mamy n bloków, to mamy $3n$ równań i $3m$ nieznanymi sił. Jeśli $m = n$ to system nazywany jest statystycznie zdeterminowanym, ale przeważnie $m > n$ i siły nie mogą być jednoznacznie określone.

- Stabilność

Zasada stabilności: jeżeli wszystkie siły zostały wprowadzone jak na Fig. 5 i rozwiązanie równań $3n$, tak że żadna siła nie jest ujemna, to układ jest stabilny. Siła ujemna oznaczałaby, że dwa bloki chcą się rozdzielić, a siła reakcji trzyma je razem. Taka siła nie istnieje, więc bloki spadają.

- Program

Program wykonujący test stabilności działa następująco:

I Formułuje równania $3n$ dla nieznanymi sił $3m$.

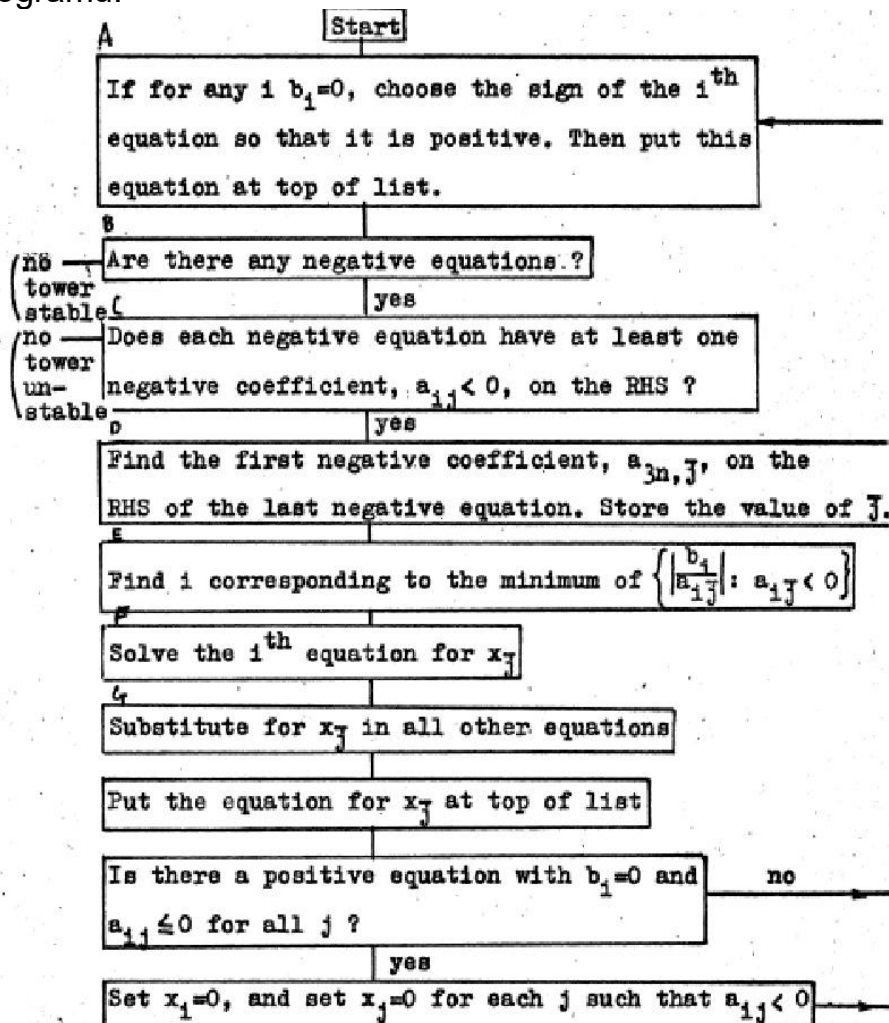
II Siły $3(m-n)$ są tymczasowo traktowane jako stałe. Rozwiązane są równania dla pozostałych sił $3n$.

III Rozwiązania przedstawione są w sposób pokazany poniżej, gdzie $b_i \geq 0$.

$$\begin{array}{ll}
 \text{positive} & x_1 = b_1 + a_{1,3n+1}x_{3n+1} + \dots + a_{1,m}x_m \\
 \text{equations} & \vdots \\
 & x_k = b_k + a_{k,3n+1}x_{3n+1} + \dots + a_{k,m}x_m \\
 \text{negative} & -x_{k+1} = b_{k+1} + a_{k+1,3n+1}x_{3n+1} + \dots + a_{k+1,m}x_m \\
 \text{equations} & \vdots \\
 & -x_{3n} = b_{3n} + a_{3n,3n+1}x_{3n+1} + \dots + a_{3n,m}x_m
 \end{array}$$

Rzeczywisty program testujący działanie próbuje pozbyć się ujemnych równań, ponieważ jeśli wszystkie równania będą dodatnie to zmienne RHS będą mogły być ustawione na zero, co oznacza, że wymóg stabilności jest spełniony. Jeśli dojdzie do równania ujemnego, które ma tylko dodatnie współczynniki RHS, to równanie to nigdy nie może być spełnione przy pomocy sił dodatnich, a to oznacza, że układ jest niestabilny.

Schemat programu:



2. Dwuwymiarowa konfiguracja z tarciem.

- Statystyka

Rysunek poniżej pokazuje typową dwuwymiarową konfigurację z tarciem.

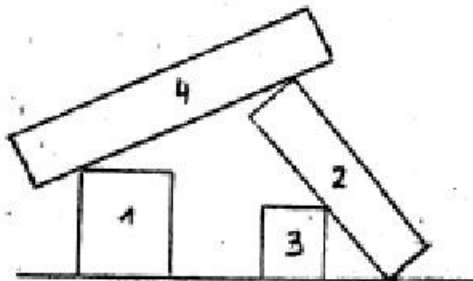


Fig. 6

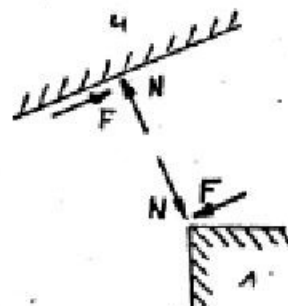


Fig. 7

Jest jasne, że prostokąt 4 może, ale nie musi spaść. To zależy od tarcia między prostokątem 4 i 1 oraz 4 i 2. Siła reakcji w punkcie styku może być rozłożona na siłę N i F . Siła N może być tylko dodatnia, jest podobna do siły reakcji w konfiguracji bez tarcia.

F jest siłą tarcia, co oznacza opór dwóch ciał pozostających w spoczynku. Opór ten nie może być nieograniczony. Opór jest zależny od powierzchni bloków i od sił, które sprawiają, że przyciskają się do siebie. Pewna siła F może przekroczyć limit i bloki zaczną się ześlizgiwać, konfiguracja będzie wtedy niestabilna.

Eksperymenty wykazały, że $|F| \leq \mu N$ jest dobrym przybliżeniem górnego limitu.

μ jest parametrem powierzchniowym, a N jest siłą normalną w punkcie styku.

Geometria wokół punktu tarcia nie wpływa na parametr powierzchni. Ponadto zakładamy, że prostokąty są wykonane z tego samego materiału, dzięki czemu możemy uznać μ za stałą dla całego układu.

Istnieją trzy warunki równania dla każdego prostokąta.

$$\sum P_x = 0 \quad \text{forces in the direction of the x-axis}$$

$$\sum P_z = 0 \quad \text{forces in the direction of the z-axis}$$

$$\sum M_y = 0 \quad \text{moments with respect to the y-axis}$$

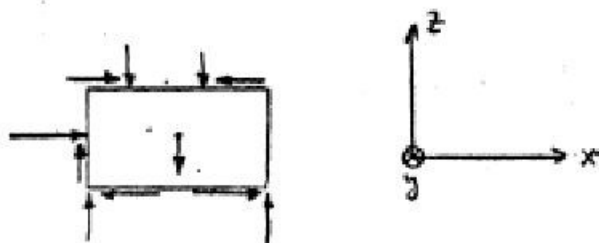


Fig. 9

- Stabilność

Tak jak poprzednio siły muszą być nie ujemne, ponadto siły tarcia muszą być uwzględnione.

$$|F_i| \leq \mu N_i, \quad (1)$$

gdzie F_i może być dodatnie lub ujemne, w zależności od kierunku, w którym zostało wprowadzone.

- Program

W dwuwymiarowym układzie z tarcia może zostać wykorzystany poprzedni program. Trik polega na tym, aby wyrazić warunek 1, w taki sposób aby wszystkie siły były dodatnie, żeby zachować stabilność.

Można to zapisać w następujący sposób:

$$F_1 + D_1^{(1)} = \mu N_1 \quad (2)$$

$$-F_1 + D_1^{(2)} = \mu N_1 \quad (3)$$

D_i są dodatnie dla warunku 1. Teraz każde F_i w równaniu równowagi musimy zastąpić równaniem 2 i dodać:

$$D_1^{(1)} + D_1^{(2)} = 2 \mu N_1 \quad (4)$$

Powstały układ równań, można traktować jak te powstały w punkcie pierwszym (Konfiguracja bez tarcia).

3. Główny problem tarcia.

- Statystyka

Rysunek 10 pokazuje typową strukturę bloków.

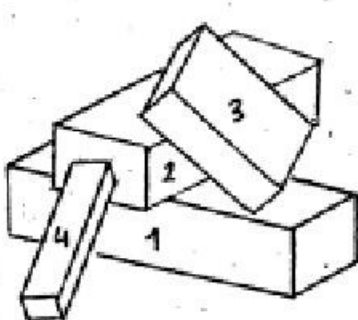


Fig. 10.10

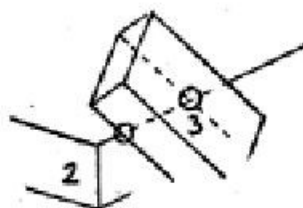


Fig. 11

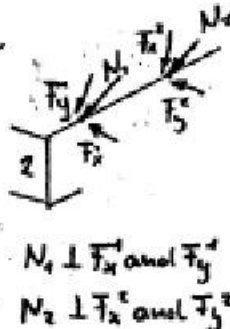


Fig. 12

W każdym miejscu mamy normalną siłę i siłę tarcia. Z powodu dodatkowego wymiaru kierunek każdej siły jest nieznany dwuwymiarowo, dlatego musimy wprowadzić dwie składowe ortogonalne, F_x i F_y . Fig. 12 pokazuje siły reakcji.

Powstała siła tarcia:

$$|F| = \sqrt{F_x^2 + F_y^2} \quad (5)$$

Ograniczona przez:

$$|F| \leq \mu N \quad (6)$$

To równanie jest nierównością, która mówi kiedy opisywany układ jest niestabilny.

Tak jak poprzednio zakładamy, że μ jest stałe dla całego układu.

Statystyka pojedynczego bloku opisana jest przez 6 równań:

$$\begin{aligned} \sum P_x &= 0 & \sum M_x &= 0 \\ \sum P_y &= 0 & \sum M_y &= 0 \\ \sum P_z &= 0 & \sum M_z &= 0 \end{aligned}$$

- Stabilność

Kryteria stabilności są takie same jak poprzednio. Wszystkie siły normalne muszą być dodatnie, a wszystkie siły tarcia muszą spełniać warunki z równań 5 i 6. Stosunek nieliniowy musimy obliczyć. Jest to zasadnicza różnica między ogólnym przypadkiem tarcia z jednej strony a przypadkiem dwuwymiarowym z tarciem, a także z trójwymiarową skrzynką bez tarcia.

- Program.

Jedną ze strategii sprawdzenia stabilności układu jest użycie równań liniowych i poszukiwanie rozwiązania, które będzie stabilne. Jeśli takie rozwiązanie istnieje, wystarczy tylko podstawić wartości sił tarcia do nierówności takiej jak:

$$\sqrt{F_x^2 + F_y^2} \leq \mu N \quad (7)$$

Jeśli jest to spełnione to układ jest stabilny. Jeśli nie, to istnieją trzy powody:

I Siły tarcia i siły normalne zostały odrzucone jako zbędne statyczne. Fig. 13 pokazuje taki przypadek.

II Fig. 14 pokazuje przypadek, gdzie siły zostały odrzucone, ale nadal inne siły mogą decydować o stabilności układu.

III Konfiguracja jest rzeczywiście niestabilna.

